

Mapa de Deslizamientos de Tierra Inducido por El Huracán Mitch Hoja Masahuat (2358 IV) and part of Metapan (2359 III), El Salvador

Map of Landslides Triggered by Hurricane Mitch Masahuat (2358 IV) and part of Metapan (2359 III) Quadrangles, El Salvador

Este mapa forma parte de un grupo de 11 ilustraciones en las que se muestran las áreas afectadas por los desprendimientos de tierra ocasionados por las lluvias torrenciales del huracán Mitch, durante octubre y noviembre de 1998. Estos desprendimientos de tierra se produjeron en inclinadas pendientes y en un terreno caracterizado por su diversidad geológica, geomorfológica, vegetal y de microclimas. Si estos mapas se complementan con los datos sobre las propiedades físicas del terreno, la pendiente, la forma de éstas y la intensidad y duración de la precipitación pluvial, pueden servir de base para evaluar la susceptibilidad a los desprendimientos de tierra de otros áreas similares.

En el caso de estas ilustraciones, el término "desprendimiento de tierra" se refiere a todo tipo de fallas en las pendientes: flujos de tierra de lento desplazamiento, desprendimientos de rotación y de trascisión (Varnes, 1978; Cruden y Varnes, 1996). Flujos de escombros de rápido desplazamiento compuestos de lodo, arena, grava, cantos rodados y escombros orgánicos (sobre la clasificación de los flujos de escombros consulte Pierson y Costa, 1987). La mayoría de los desprendimientos de tierra mostrados en estas 11 ilustraciones corresponden a flujos de escombros y sus respectivas grietas, provocados por las lluvias torrenciales de la tormenta. Es probable que muchos de los flujos de escombros inicialmente hayan sido depresiones de rotación o trascisión, originadas en grietas que habían permanecido en afectación: se desplazaron en forma de flujos lodosos, algunos de los cuales se alejaron de su punto de origen desciendo cientos de metros hasta varios kilómetros. Al desplazarse, algunos de los flujos de escombros más grandes aumentaron su volumen, al ir recogiendo material no consolidado de las colinas y de los cauces, así como de las trayectorias de flujo de éstos. Los flujos de escombros más grandes fueron capaces de transportar grandes cantos y cantos rodados de más de dos metros. Debido a su alta velocidad y a su capacidad para transportar cantos rodados grandes, los flujos de escombros pueden ser extremadamente destructivos.

Los desprendimientos de tierra que se muestran en las ilustraciones de este informe se cartografiaron usando fotografías aéreas en blanco y negro con escala de 1:15,000. Buena parte de estas fotografías se tomó unos cuantos meses después del paso de la tormenta. A fines del año 2000 se tomaron algunas fotografías más. En el texto de este informe se proporciona más información sobre dichas fotografías.

La inspección visual de las fotografías se realizó con estereoscopios de espejo 4X. Los desprendimientos de tierra se cartografiaron a mano en películas de mylar, y se registraron en mapas topográficos con escala de 1:25,000 y de 1:50,000. Cuando ello fue posible, los desprendimientos de tierra se graficaron en mapas con escala de 1:25,000; para otras partes del país se utilizaron mapas con escala de 1:50,000. Los desprendimientos de tierra se digitalizaron manualmente y quedaron registrados como imágenes digitales (DRG) de mapas topográficos con escala de 1:50,000. A continuación, se fusionaron los DRG para formar una sola imagen de la sobrepresión de dos o más mapas topográficos con escala de 1:50,000, para lograr la continuidad en los mapas adyacentes, los bordes de los cuadrángulos de estas sobrepresiones se ajustaron digitalmente. También fue necesario hacer estos ajustes para solucionar el problema de la diferencia de resolución de los mapas topográficos con escala de 1:50,000 y de escala 1:25,000. Una vez realizados estos ajustes, se recortaron en los DRG fusionados las áreas de cada una de las ilustraciones y se graficaron los desprendimientos de tierra en las imágenes DRG de cada una de las ilustraciones.

En estos mapas se representa la forma, ubicación relativa y magnitud de los desprendimientos de tierra, así como los depósitos pendiente abajo provocados por el huracán. Sin embargo, resulta difícil determinar con precisión la ubicación de los desprendimientos de tierra mostrados en los mapas. En el caso de los accidentes inicialmente cartografiados en mapas topográficos con escala de 1:25,000, estimamos que la exactitud de la ubicación es menor a los 100 m, posiblemente de 50 m. En el caso de los accidentes que inicialmente se cartografiaron en mapas topográficos con escala de 1:50,000, la exactitud de su ubicación es de 100 a 200 m.

Referencias Citadas

- Cruden, D.M. y Varnes, D.J., 1996, Landslide types and processes, en Turner, A.K. y Schuster, R.L., eds., Landslides-investigation and mitigation Washington, D.C., National Academy of Sciences, Transportation Research Board Special Report 247, p. 36-75.
 Pierson, T.C. y Costa, J.E., 1987, rheologic classification of subaerial sediment-water flows, en Costa, J.E. y Wieczorek, G.F., eds., Debris flows/avalanches-process, recognition, and mitigation: Geological Society of America, Reviews in Engineering Geology, v. 7, p. 1-12.
 Varnes, D.J., 1978, Slope movement types and processes, en Schuster, R.L. y Krizek, R.J., eds., Landslides: analysis and control: Washington, D.C., National Academy of Sciences, Transportation Research Board Special Report 176, p. 12-33.

Este mapa es uno de 11 que muestran las áreas afectadas por los desprendimientos de tierra causados por las lluvias torrenciales de Mitch. Las laderas inclinadas y terrenos con diversidad geológica, geomorfológica, vegetal y de microclima. Si se combinan con datos sobre las propiedades físicas del terreno, la pendiente, la forma de éstas y la intensidad y duración de la precipitación pluvial, estos mapas pueden servir de base para evaluar la susceptibilidad a los desprendimientos de tierra de otras áreas similares.

Para estos mapas, el término "desprendimiento de tierra" se refiere a todos los tipos de fallas en las pendientes: flujos de tierra lentos, desprendimientos de rotación y de trascisión (Varnes, 1978; Cruden y Varnes, 1996). Los flujos de escombros rápidos compuestos de lodo, arena, grava, cantos rodados y escombros orgánicos (sobre la clasificación de los flujos de escombros véase Pierson y Costa, 1987). La mayoría de los desprendimientos de tierra mostrados en estas 11 ilustraciones corresponden a flujos de escombros y sus grietas, provocados por las lluvias torrenciales de la tormenta. Es probable que muchos de los flujos de escombros inicialmente hayan sido depresiones de rotación o trascisión, originadas en grietas que habían permanecido en afectación: se desplazaron en forma de flujos lodosos, algunos de los cuales se alejaron de su punto de origen desciendiendo cientos de metros hasta varios kilómetros. Al desplazarse, algunos de los flujos de escombros más grandes aumentaron su volumen, al ir recogiendo material no consolidado de las colinas y de los cauces, así como de las trayectorias de flujo de éstos. Los flujos de escombros más grandes fueron capaces de transportar grandes cantos y cantos rodados de más de dos metros. Debido a su alta velocidad y a su capacidad para transportar cantos rodados grandes, los flujos de escombros pueden ser extremadamente destructivos.

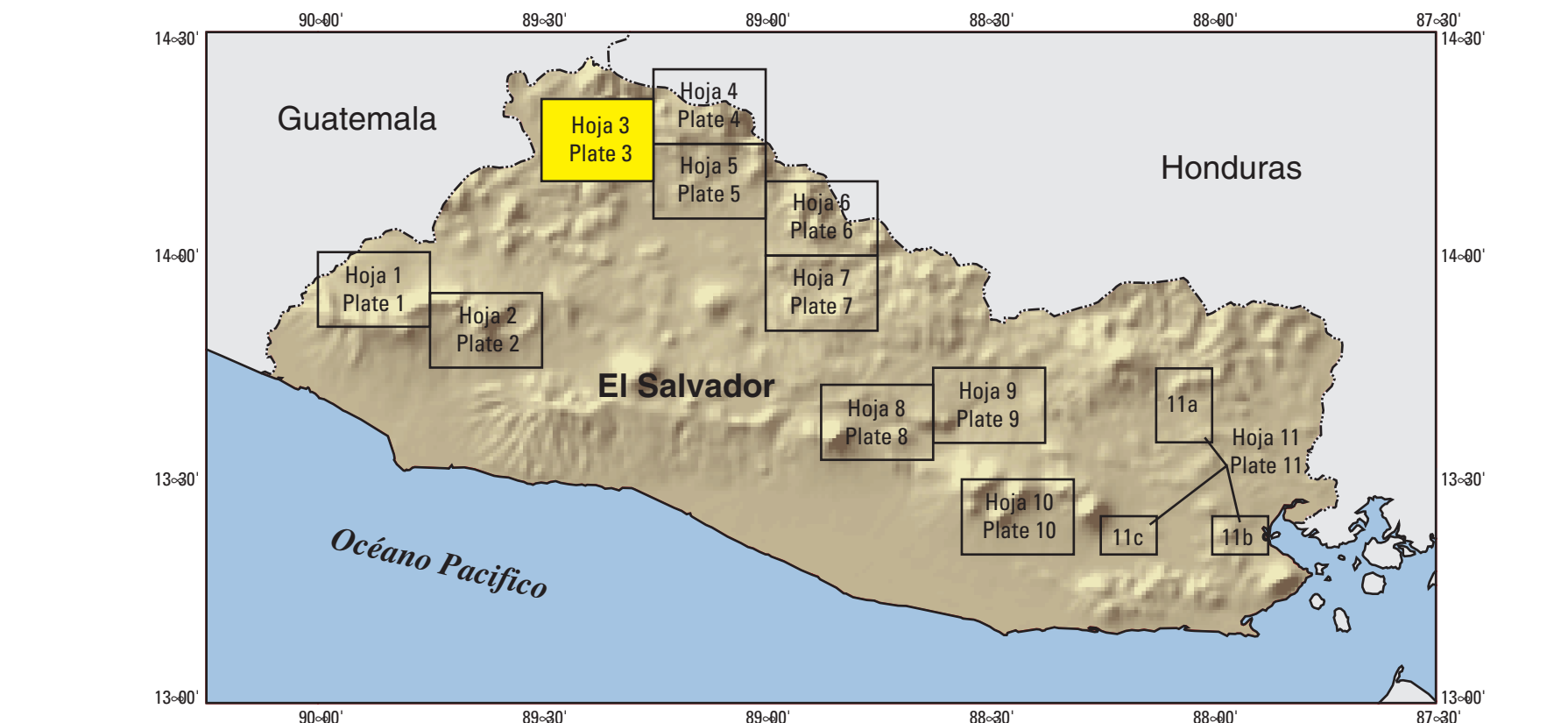
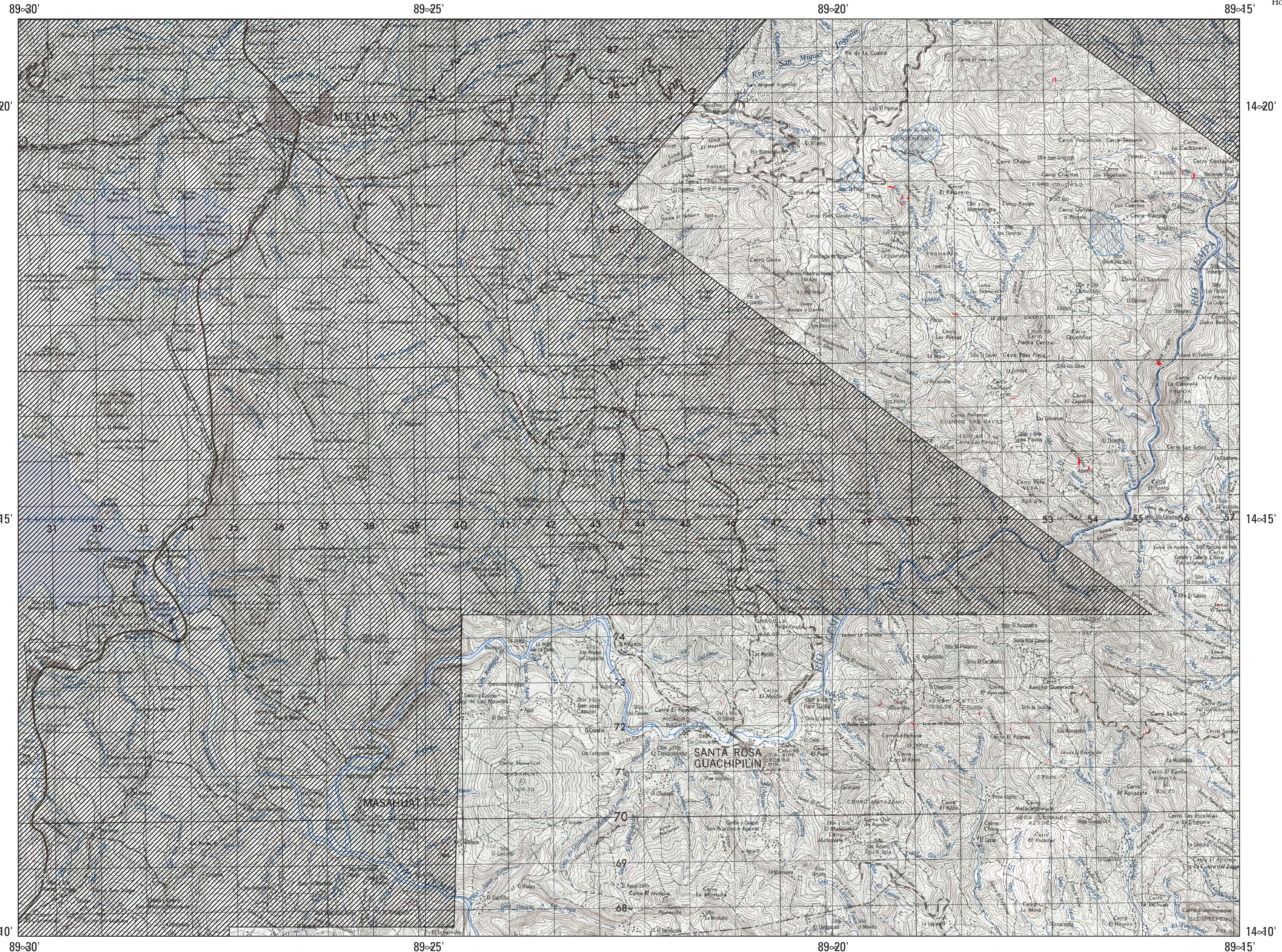
Los desprendimientos de tierra que se muestran en las ilustraciones de este informe se cartografiaron usando fotografías aéreas en blanco y negro con escala de 1:15,000. Buena parte de estas fotografías se tomó unos cuantos meses después del paso de la tormenta. A fines del año 2000 se tomaron algunas fotografías más. En el texto de este informe se proporciona más información sobre dichas fotografías.

Las fotografías se examinaron visualmente usando estereoscopios de 4X y las laderas fueron dibujadas a mano en láminas de mylar que se registraron en mapas topográficos con escala de 1:25,000 y de 1:50,000. Cuando ello fue posible, los desprendimientos de tierra se graficaron en mapas con escala de 1:25,000; para otras partes del país se utilizaron mapas con escala de 1:50,000. Los desprendimientos de tierra se digitalizaron manualmente y quedaron registrados como imágenes digitales (DRG) de mapas topográficos con escala de 1:50,000. A continuación, se fusionaron los DRG para formar una sola imagen de la superposición de dos o más mapas topográficos con escala de 1:50,000, para lograr la continuidad en los mapas adyacentes, los bordes de los cuadrángulos de estas superposiciones se ajustaron digitalmente. También fue necesario hacer estos ajustes para solucionar el problema de la diferencia de resolución de los mapas topográficos con escala de 1:50,000 y de escala 1:25,000. Una vez realizados estos ajustes, se recortaron en los DRG fusionados las áreas de cada una de las ilustraciones y se graficaron los desprendimientos de tierra en las imágenes DRG de cada una de las ilustraciones.

En estos mapas se representa la forma, ubicación relativa y magnitud de los desprendimientos de tierra, así como los depósitos pendiente abajo provocados por el huracán. Sin embargo, resulta difícil determinar con precisión la ubicación de los desprendimientos de tierra mostrados en los mapas. En el caso de los accidentes inicialmente cartografiados en mapas topográficos con escala de 1:25,000, estimamos que la exactitud de la ubicación es menor a los 100 m, posiblemente de 50 m. En el caso de los accidentes que inicialmente se cartografiaron en mapas topográficos con escala de 1:50,000, la exactitud de su ubicación es de 100 a 200 m.

References Cited

- Cruden, D.M. and Varnes, D.J., 1996, Landslide types and processes, in Turner, A.K. and Schuster, R.L., eds., Landslides-investigation and mitigation Washington, D.C., National Academy of Sciences, Transportation Research Board Special Report 247, p. 36-75.
 Pierson, T.C. and Costa, J.E., 1987, rheologic classification of subaerial sediment-water flows, in Costa, J.E. and Wieczorek, G.F., eds., Debris flows/avalanches-process, recognition, and mitigation: Geological Society of America, Reviews in Engineering Geology, v. 7, p. 1-12.
 Varnes, D.J., 1978, Slope movement types and processes, in Schuster, R.L. and Krizek, R.J., eds., Landslides: analysis and control: Washington, D.C., National Academy of Sciences, Transportation Research Board Special Report 176, p. 12-33.



EXPLICACIÓN
Área afectada por desprendimientos de tierra y sus correspondientes efectos pendiente abajo. Los efectos incluyen la deposición y la erosión tanto pendiente abajo como en las crestas aluviales. En algunos de los cuadrángulos también se cartografiaron los efectos producidos por inundaciones en los cauces fluviales más importantes.

EXPLANATION
Area impacted by landslides and related downslope effects. Downslope effects include deposition and erosion in downstream channels and on alluvial fans.

Área oscurecida por las nubes.
Area obscured by clouds.

Área no cartografiada.
Not mapped.

ESCALA 1:50,000 SCALE 1:50,000
1 0 5 km
ELEVACIONES EN METROS
ELEVATIONS IN METERS
DATUM HORIZONTAL NORTEAMERICANO 1927
PROYECCIÓN TRANSVERSA DE MERCATOR
HORIZONTAL DATUM NORTH AMERICAN 1927
PROJECTION TRANSVERSE MERCATOR

Las áreas de trazo de deslizamientos de tierra inducidos por el Huracán Mitch a escala 1:50,000 están delineadas con líneas negras. El rectángulo amarillo muestra la localización de esta hoja del mapa.

Areas of 1:50,000-scale mapping of landslides induced by Hurricane Mitch are delineated by black lines. Yellow rectangle shows the location of this map sheet.

Este informe es preliminar y no ha sido revisado en conformidad con los estándares editoriales del Departamento Geológico de los Estados Unidos ni con el Código Estratigráfico de Norteamérica. Cualquier uso de nombre de fábrica, producto o firma en esta publicación es para propósitos descriptivos solamente y no implica patrocinio por el Gobierno de Estados Unidos.

Coberturas ARC/INFO y un archivo PDF para este mapa están disponibles en <http://geology.cr.usgs.gov/greenwood-pubs.html>

This report is preliminary and has not been reviewed for conformity with U.S. Geological Survey editorial standards or with the North American Stratigraphic Code. Any use of trade, firm, or product names is for descriptive purposes only and does not imply endorsement by the U.S. Government.

ARC/INFO coverages and a PDF file for this map are available at <http://geology.cr.usgs.gov/greenwood-pubs.html>